

1 海洋链霉菌 *Streptomyces sporoverrucosus* 33510 次级 2 代谢产物研究

3 摘要：为获得海洋放线菌次级代谢产物中的活性物质，对海洋链霉菌 *Streptomyces sporoverrucosus* 33510 进行
4 研究。对 *Streptomyces sporoverrucosus* 33510 菌株进行抑菌活性检测，结果表明菌株 *Streptomyces*
5 *sporoverrucosu* 33510 对多种植物致病菌有抑制活性。使用高效液相色谱（High Performance Liquid
6 Chromatography, HPLC）、半制备液相色谱（Semi-pre HPLC）、柱色谱（Colume
7 Chromatography, CC）、薄层色谱（Thin Layer Chromatography, TLC）、重结晶等分析及分离技术对其发
8 酵产物进行分离纯化。通过核磁共振（Nuclear Megnetic Resonance, NMR）对得到的单体化合物进行鉴定。
9 从其次级代谢产物中共分离得到 10 个单体化合物：bisphenol A（1），2-(4-methoxyphenyl)acetic
10 acid（2），N-phenethylacetamide（3），methyl 2-(1H-indol-3-yl)acetate（4），dibutyl
11 phthalate（5），cyclo(D)-pro-(D)-Leu（6），cyclo(D-Pro-L-Leu）（7），cyclo-(D-ProL-Ile）（8），cyclo(L-
12 Pro-L-Phe）（9），cyclo-(L-Leu-L-Val）（10）。除了化合物 5 和 9，其余 8 个化合物均为首次从该菌中分离得
13 到。对单体化合物的抑菌结果表明化合物 3, 4, 5, 6 对立枯丝核菌（*Rhizoctonia solani*）有明显抑制效果；
14 化合物 7, 8, 9 对板栗疫病菌（*Cryphonectria parasitica*）有明显抑制效果；化合物 3, 7 对假禾谷镰刀菌
15 （*Fusarium pseudograminearum*）有明显抑制效果。菌株 *Streptomyces sporoverrucosus* 33510 具有作为抑菌药
16 物的开发潜力。

17 关键词：*Streptomyces sporoverrucosus* 33510；次级代谢产物；抑菌活性

18

19 Study on Secondary Metabolites of Marine *Streptomyces* 20 *Sporoverrucosus* 33510

21 **Abstract:** To study active secondary metabolites of marine actinobacteria *Streptomyces sporoverrucosus* 33510,
22 and evaluate antibacterial activity of the purified compounds. The *Streptomyces sporoverrucosus* 33510 strain was
23 tested for antibacterial activity. *Streptomyces sporoverrucosu* 33510 shows strong inhibitory activity against
24 various plant pathogenic bacteria. The compounds were isolated and purified by high performance liquid
25 chromatography (HPLC), semi-pre HPLC, thin-layer chromatography (TLC) and resortification technology. And
26 their chemical structures were characterized by nuclear magnetic resonance (NMR) analysis. The chemical
27 structures were identified as bisphenol A (1), 2-(4-methoxyphenyl)acetic acid (2), N-phenethylacetamide (3),
28 methyl 2-(1H-indol-3-yl)acetate (4), dibutyl phthalate (5), cyclo(D)-pro-(D)-Leu (6), cyclo(D-Pro-L-Leu) (7),
29 cyclo-(D-ProL-Ile) (8), cyclo(L-Pro-L-Phe) (9), cyclo-(L-Leu-L-Val) (10). Except for the compounds 5 and 9, the
30 remaining eight compounds were isolated from *Streptomyces sporoverrucosus* for the first time. The antibacterial
31 activity of the compounds were tested for by Disk Diffusion Assay. Compound 3, 4, 5, and 6 show antibacterial
32 activity against *Rhizoctonia solani*. Compound 7, 8, and 9 show antibacterial activity against *Cryphonectria*
33 *parasitica*. Compound 3 and 7 show antibacterial activity against *Fusarium pseudograminearum*. Marine
34 actinomycetes *Streptomyces sporoverrucosus* 33510 can be a potential resource for antibacterial drugs.

35 **Key words:** *Streptomyces sporoverrucosus* 33510; secondary metabolites; antibacterial activity

36

1

2 收稿日期：--；修订日期：--。编辑

3 基金项目：国家自然科学基金资助项目（81960164）；广西科技重大项目（AB21196020）

4 作者简介：刘颖(1997—)，女，硕士研究生，从事天然药物化学研究。email: liuyinghealer@163.com

5 通信作者：杨立芳。email: yanglf1990@163.com

6 Received date: --; Revised date: --. Editor:

7 Foundation item: Science and Technology Major Project of Guangxi (AB21196020); Science and Technology Major Project of
8 Guangxi (AB21196020)

9 Corresponding author: YANG Lifang. email: yanglf1990@163.com

在陆地环境中寻找能有效成分的微生物逐渐受限，人们开始把目光投入到海洋环境中。20 世纪 60 年代末，随着探索领域扩展到海洋中的动植物，新次级代谢产物的研究迈进了一个新的方向。如今，经过广泛探索，海洋天然产物的研究被认为既是天然产物化学的重要组成部分，又是药物发现及开发的重要来源(Jensen, et al. 1994)。

目前人们认识的有活性的代谢物有 22000 多种，其中的 10100 多种都是由放线菌产生的(Jiang, et al. 2007)。链霉菌属放线菌仍然是新化合物的主要来源，2017 年报道了 137 种代谢物，其中一半以上的数量是海洋来源链霉菌的代谢物，其次是亲缘关系最近的芽孢杆菌、诺卡氏菌和假单胞菌，分别有 14、15 和 16 个新化合物(Blunt, et al. 2021)。目前临床应用的抗生素约 2/3 来源于链霉菌属(Bi, et al. 2016)。

本研究对来源于广西茅尾海红树林根际土壤的链霉菌 *Streptomyces sporoverrucosus* 33510 进行抑菌活性检测，并对其次级代谢产物进行分离纯化，以期获得抑菌活性好的化合物。

1. 仪器试剂与材料

1.1 仪器

低温冷却液循环泵 (LC-LTC-10/20, 上海力辰邦西仪器科技有限公司)；旋转蒸发仪 (N-1300, 上海爱朗仪器有限公司制造)；循环水真空泵 (SHZ-III, 上海亚荣生化仪器厂)；数显恒温水浴锅 (HH-S6, 金坛市医疗仪器厂)；生化培养箱 (ZXSD-B1160, 上海智城分析仪器制造有限公司)；超净工作 (ZHJH-C1112B, 上海智城分析仪器制造有限公司)；大容量落地式振荡器 (MQZ-632, 上海曼泉仪器有限公司)；电子天平 (ME204T, 梅特勒-托利多仪器(上海)有限公司)；半制备高效液相色谱仪 (SCL-10AVP, 岛津(日本))；高效液相色谱仪 (LC-10AT, 岛津(日本))；核磁共振波谱仪 (Bruker (400 MHz))；布鲁克拜厄斯宾有限公司)

1.2 试剂

石油醚，乙酸乙酯，甲醇，二氯甲烷等有机试剂购自成都市科隆化学品有限公司（过柱使用有机试剂均为分析纯，液相使用有机试剂均为色谱纯。）

1.3 材料

马铃薯葡萄糖琼脂培养基 (PDA, 青岛高科技工业园海博生物技术有限公司)；放线菌菌株取自广西民族大学海洋与生物技术学院的菌种库，病原菌真菌源自云南大学云南省微生物研究所及广西农业科学院。

2. 方法

2.1 抑菌活性检测

样品处理：用甲醇/二氯甲烷溶解化合物，制成 $0.1 \text{ mg} \cdot \text{mL}^{-1}$ 的样品，分两次吸取 $5 \mu\text{L}$ 样品（共 $10 \mu\text{L}$ ）于事先用打孔器打好并灭菌的 8 mm 滤纸片上，待有机试剂挥干、药液完全吸收后，用灭过菌的镊子夹取滤纸片放到培养基平板上。阳性药为酮康唑 ($0.1 \text{ mg} \cdot \text{mL}^{-1}$)，空白对照为甲醇/二氯甲烷溶液。

对植物致病菌的抑菌活性检测：用灭过菌的 1 mL 枪头挑取 8 mm 带有指示菌的琼脂块圆饼放到另一个新的 PDA 固体培养基的中央，用灭菌后的竹签挑取实验菌株单菌落放到距指示菌 2 mm 位置，依次做好标记及封口， 28°C 正置培养 3 天，观察抑菌情况。

2.2 粗提物的获得

将本课题组批量发酵得到的 180 L 发酵液用等体积乙酸乙酯萃取三次，减压浓缩萃取液得到 24.9 g 浸膏粗提物。

2.3 次级代谢产物的分离纯化

采取干法装柱、干法上样的方式，经正相硅胶柱洗脱分离。洗脱剂及比例为：石油醚/乙酸乙酯 ($1/0$ 、 $10/1$ 、 $8/1$ 、 $6/1$ 、 $4/1$ 、 $2/1$ 、 $1/1$ 、 $1/2$ 、 $0/1$)，共得到 27 个组分，其中第二十个组分通过重结晶纯化得到化合物 **1** (11 mg)。经 HPLC 分析后合并相同物质组分，共得到 11 个组分 Fr.1-11。薄层色谱硅胶 ($200\text{-}300$ 、 $300\text{-}400 \text{ 目}$) 购自青岛海洋化工有限公司；ODS 柱色谱填料：YMC Gel ODS-A；分析色谱柱：YMC HPLC column ($250 \times 4.6 \text{ mmL.D.}$, $5 \mu\text{m}$, 12 nm , AA12S05-2510WT)；半制备色谱柱：YMC-Pack ODS-A ($250 \times 10 \text{ mmL.D.}$, $5 \mu\text{m}$, 12 nm , AA12S05-2510WT)。

组分 Fr.5 的分离：使用 ODS 反相色谱，以甲醇/水 20%-80% 依次洗脱，共得到 21 个组分 Fr.5.1-Fr.5.21，经 HPLC 分析后合并 Fr.5.10 与 Fr.5.11，通过 Semi-pre-HPLC 以体积分数 70% 甲醇/水进行洗脱得到化合物 **2** (1.8 mg)。

组分 Fr.7 的分离：使用 ODS 反相色谱，以甲醇/水 10%-80% 依次洗脱，共得到 24 个组分 Fr.7.1-Fr.7.1.25。其中 Fr.7.8 经 HPLC 分析后通过 Semi-pre-HPLC 以 30% 甲醇/水洗脱得到化合物 **3** (4.6 mg) 与 **4** (18.7 mg)。组分 Fr.7.11 和 Fr.7.20 经 HPLC 分析确定制备条件分别为 50% 甲醇、264 nm 以及 45% 甲醇、267 nm，经半制备液相分别制得化合物 **5** (2.2 mg) 与化合物 **6** (11 mg)。

组分 Fr.11 通过 Semi-pre-HPLC，以体积分数 30% 甲醇/水洗脱得到 4 个单体化合物 **7** (36.2 mg)、化合物 **8** (26.2 mg)、化合物 **9** (13.4 mg) 及化合物 **10** (55.2 mg)

所有 Semi-pre-HPLC 流速均为 3.5 mL/min，洗脱程序见表 1。

表 1 HPLC 洗脱程序

Tab.1 HPLC elution procedures

Time/min	Methanol/%	Water/%
0.01	10	90
5	10	90
15	100	0
20	100	0
25	10	90

3. 结果与讨论

3.1 S.33510 的抑菌结果

S.33510 的抑菌实验表明其对多种植物致病菌有明显的抑制效果。部分效果如图 1，详细结果见表 2：

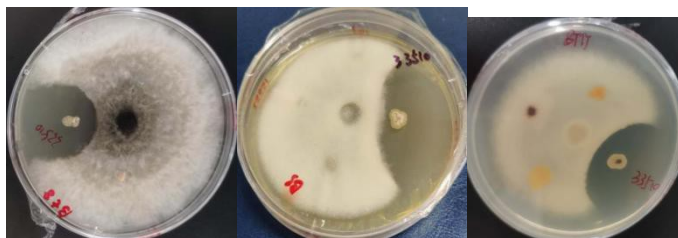


图 1 S.33510 的抑菌效果

图中从左到右依次是葡萄座腔菌、小麦平脐蠕孢菌、芭蕉炭疽菌。

Fig.1 The antibacterial efficacy of S.33510

From left to right, it is followed by *Botryosphaeria dothidea*, *Bipolaris sorokiniana*, *Colletotrichum musae*.

表 2 S.33510 菌株对不同致病菌的抑制结果

Tab.2 Results of S. 33510 strains against different pathogenic bacteria

<i>Fusarium oxysporum</i>	<i>Fusarium pseudograminearum</i>	<i>Colletotrichum musae</i>	<i>Bacillus subtilis</i>	<i>Plectosphaerella cucumerina</i>	<i>Cryphonectria parasitica</i>	<i>Botryosphaeria dothidea</i>
√	√	√	√	×	×	√

注：“√”表示抗菌效果明显，“×”表示无明显抗菌效果。

Note: "√" indicates an obvious antibacterial effect, and "×" means no obvious antibacterial effect

3.2 单体化合物的结构鉴定

化合物 **1**：透明片状晶体。¹H NMR (400 MHz, Methanol-d₄) δ 4.26 (ddd, *J* = 9.5, 7.2, 1.8 Hz, 1H), 4.17-4.09 (m, 1H), 3.55-3.47 (m, 2H), 2.31 (dddd, *J* =

116 11.3, 6.9, 4.6, 2.9 Hz, 1H), 2.10-1.82 (m, 5H), 1.57-1.47 (m, 1H), 0.96 (dd, $J=$
117 6.4, 2.6 Hz, 6H)。 ^{13}C NMR (101 MHz, MeOD) δ
118 172.80, 168.92, 60.28, 54.62, 46.44, 39.39, 29.07, 25.76, 23.66, 23.30, 22.20。经比
119 对, 以上数据与文献(刘涛, et al. 2012)报道一致, 名为 cyclo-(S-Pro-S-Leu), 为已知化合物。

120 化合物 2: 深黄色油状物质, 溶解于甲醇。 ^1H NMR (400 MHz, Methanol- d_4) δ 7.02
121 (d, $J=8.7$ Hz, 1H), 6.66 (d, $J=8.7$ Hz, 1H), 1.58 (s, 2H)。 ^{13}C NMR (101
122 MHz, MeOD) δ 155.97, 143.46, 128.73, 115.52, 42.49, 31.67。经比对, 以上数据与文献
123 (徐祥彬, et al. 2009)报道一致, 为已知化合物, 名为 bisphenol A。

124 化合物 3: 浅黄色油状物质。 ^1H NMR (400 MHz, Methanol- d_4) δ 7.07 (d, $J=8.5$
125 Hz, 1H), 6.72 (d, $J=8.5$ Hz, 1H), 3.66 (s, 2H), 3.52 (s, 1H)。 ^{13}C NMR (101
126 MHz, $\text{CD}_3\text{OD_SPE}$) δ 174.58, 157.57, 131.30, 126.32, 116.26, 52.37, 40.89。经比对,
127 以上数据与文献(Shin, et al. 2003)报道一致, 为已知化合物, 名为 methylp-
128 hydroxyphenylacetate。

129 化合物 4: 深黄色油状物质。 ^1H NMR (400 MHz, Methanol- d_4) δ 7.32-
130 7.17 (m, 6H), 7.19 (d, $J=4.6$ Hz, 1H), 3.38 (dd, $J=8.1$, 6.7
131 Hz, 3H), 2.78 (dd, $J=8.1$, 6.7 Hz, 3H), 1.90 (s, 4H), 1.89 (s, 1H)。 ^{13}C
132 NMR (101 MHz, $\text{CD}_3\text{OD_SPE}$) δ
133 173.24, 140.50, 129.77, 129.48, 127.34, 42.10, 36.48, 22.50。经比对, 以上数据与文献
134 (王航航, et al. 2018)报道一致, 为已知化合物, 名为 N-phenethylacetamide。

135 化合物 5: 黄色油状物质。 ^1H NMR (400 MHz, Methanol- d_4) δ 7.51 (dt, $J=7.9$, 1.0
136 Hz, 1H), 7.34 (dt, $J=8.2$, 1.0 Hz, 1H), 7.16 (d, $J=1.0$ Hz, 1H), 7.10 (ddd, $J=$
137 8.2, 7.0, 1.2 Hz, 1H), 7.01 (ddd, $J=8.0$, 7.0, 1.1 Hz, 1H), 3.77 (d, $J=0.9$
138 Hz, 2H), 3.68 (s, 3H)。 ^{13}C NMR (101 MHz, MeOD) δ
139 174.85, 138.02, 128.57, 124.64, 122.48, 119.88, 119.34, 112.26, 108.51, 52.35, 31.86
140 。经比对, 以上数据与文献(吴洪波, et al. 2019)报道一致, 为已知化合物, 名为 3-indole-
141 methylethanoate。

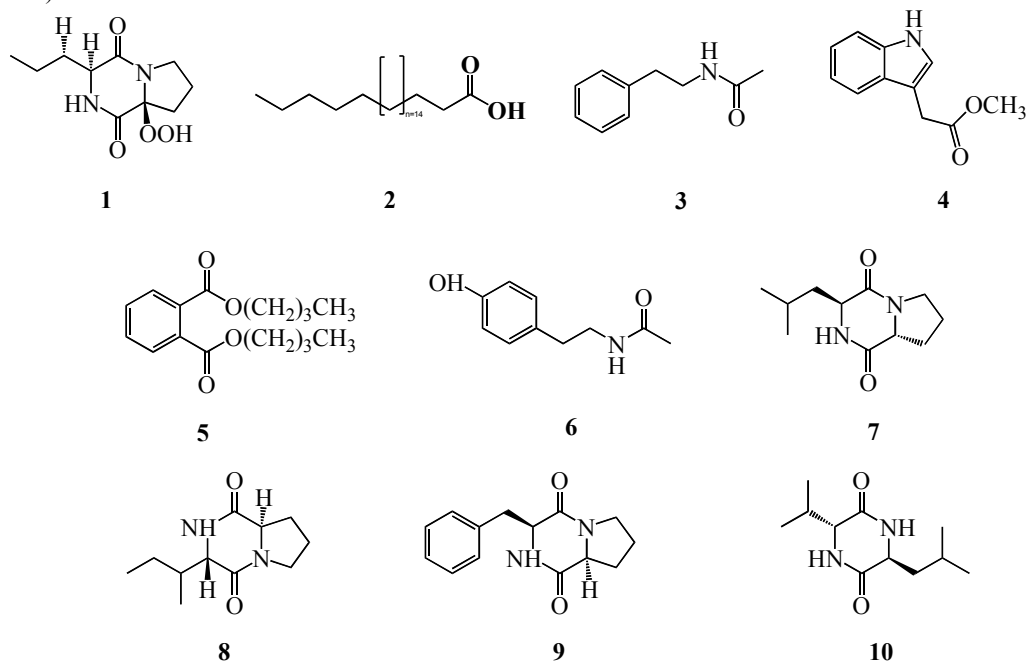
142 化合物 6: 浅黄色油状物质。 ^1H NMR (400 MHz, Methanol- d_4) δ 7.72 (dd, $J=$
143 5.7, 3.3 Hz, 1H), 7.61 (dd, $J=5.7$, 3.3 Hz, 1H), 4.29 (t, $J=6.6$
144 Hz, 2H), 1.72 (ddt, $J=9.0$, 8.0, 6.4 Hz, 2H), 1.52-1.38 (m, 2H), 0.98 (t, $J=7.4$
145 Hz, 3H)。 ^{13}C NMR (101 MHz, MeOD) δ
146 169.31, 133.58, 132.34, 129.87, 66.65, 31.71, 20.25, 14.05。经比对, 以上数据与文献
147 (Liu, et al. 2018)报道一致, 为已知化合物, 名为 dibutylphthalate。

148 化合物 7: 黄色油状物质。 ^1H NMR (400 MHz, Methanol- d_4) δ 4.26 (dd, $J=9.6$, 6.6
149 Hz, 1H), 3.85 (dd, $J=9.5$, 5.4 Hz, 1H), 3.64-3.44 (m, 2H), 2.07-
150 1.97 (m, 1H), 2.01-1.86 (m, 2H), 1.78 (dtd, $J=8.6$, 6.6, 4.0
151 Hz, 1H), 1.68 (ddd, $J=13.5$, 9.5, 5.5 Hz, 1H), 1.57 (ddd, $J=13.8$, 8.5, 5.5
152 Hz, 1H), 0.98 (dd, $J=11.9$, 6.5 Hz, 6H)。 ^{13}C NMR (101 MHz, MeOD) δ
153 171.62, 169.07, 59.33, 57.09, 46.71, 43.63, 29.91, 25.52, 23.33, 23.06, 21.93。经比
154 对, 以上数据与文献(彭坤, et al. 2015)报道一致, 为已知化合物, 名为 cyclo(D-Pro-L-Leu)。

155 化合物 8: 淡黄色针状晶体。 ^1H NMR (400 MHz, Methanol- d_4) δ
156 4.84 (s, 3H), 4.24 (dd, $J=9.9$, 6.4 Hz, 1H), 3.34-3.28 (m, 1H), 2.39-
157 2.31 (m, 1H), 1.91 (s, 2H), 1.89 (ddd, $J=11.5$, 8.7, 4.4 Hz, 2H), 1.65-
158 1.55 (m, 1H), 1.03-0.91 (m, 7H)。 ^{13}C NMR (101 MHz, MeOD) δ
159 171.58, 167.91, 63.44, 59.73, 46.76, 40.95, 30.29, 26.03, 22.87, 15.65, 11.60。经比
160 对, 以上数据与文献(Hwang, et al. 2017)报道一致, 为已知化合物, 名为 Cyclo-(D-Pro-L-Ile)。

161 化合物 9: 淡黄色油状晶体。 ^1H NMR (400 MHz, Methanol- d_4) δ 7.31-
162 7.21 (m, 4H), 7.23 (s, 1H), 4.06 (ddd, $J=10.9$, 6.4, 2.0 Hz, 1H), 3.31 (t, $J=$
163 1.7 Hz, 1H), 3.17 (dd, $J=5.0$, 1.8 Hz, 2H), 1.85-1.74 (m, 2H)。 ^{13}C NMR (101
164 MHz, MeOD) δ
165 170.92, 166.90, 137.28, 131.05, 129.46, 128.09, 60.06, 57.68, 45.96, 38.24, 29.37, 22.
166 74。经比对, 以上数据与文献(于鑫, et al. 2019)报道一致, 为已知化合物, 名为 cyclo-(L-Pro-
167 L-Phe)。

化合物 **10**：淡黄色针状晶体。¹H NMR (400 MHz, Methanol-d₄) δ 1.05 (d, *J* = 7.0 Hz, 1H), 1.00-0.93 (m, 3H)。¹³C NMR (101 MHz, MeOD) δ 171.28, 169.67, 61.54, 54.37, 46.00, 33.67, 25.29, 23.61, 21.84, 19.31, 17.79。经对比, 以上数据与文献报道一致(吴双凤, et al. 2020), 为已知化合物, 名为 cyclo-(L-Leu-L-Val)。



173

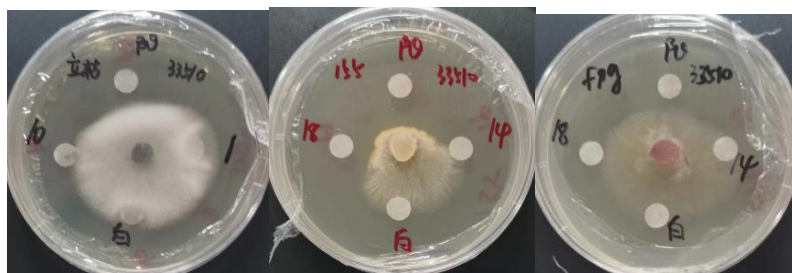
174 图2 化合物 **1-10** 的结构

175 Fig.2 Chemical structures of compounds **1-10**

176 3.3 单体化合物的抑菌活性

177 抑菌活性实验证明 0.1 mg·mL⁻¹ 浓度时的化合物 **3**, **4**, **5**, **6** 对立枯丝核菌有明显抑制效果；化合物 **7**, **8**, **9** 对板栗疫病菌有明显抑制效果；化合物 **3**, **7** 对假禾谷镰刀菌有明显抑制效果。此外, 化合物对5种人体致病菌均无抑制活性。部分结果如图3。

180



181

182 图3 单体化合物的抑菌活性

183 注：从左到右依次是立枯丝核菌, 板栗疫病菌, 假禾谷镰刀菌, 图中数字 1、10 和 18 分别对应化合物 **2**、**6** 和 **7**。

184 Fig.3 The antibacterial activity of compounds

185 Note: From left to right, it is shown as follows *Rhizoctonia solani*, *Cryphonectria parasitica*, *Fusarium pseudograminearum*. Numbers 1, 10, and 18 correspond to compounds **2**, **6**, and **7**, respectively.

188 4. 结论

189 本研究对海洋链霉菌 *Streptomyces sporoverrucosus* 33510 进行抑菌活性检测, 发现此菌株对多种植物致病菌有明显的抑制效果。在其次级代谢产物中共分离得到 10 个单体化合物, 有 190 8 个化合物为首次从该菌中分离得到。通过抑菌活性实验证明 0.1 mg·mL⁻¹ 浓度时的部分化合物对植物致病菌有明显抑制效果。证明了 *Streptomyces sporoverrucosus* 33510 菌株有作为抑菌

193 药物研发的潜力, 同时丰富了该菌次级代谢产物的多样性。

194 参考文献 References

- 195 刘涛, 李占林, 王宇, 等. 2012. 海洋来源真菌 *Penicillium sacculum* 次级代谢产物的研究. 中国药理学杂志[J].
196 47(08):577-580. LIU TAO, LI ZHANLIN, WANG YU, et al. Study on the Secondary Metabolites of Marine-
197 Derived Fungus *Penicillium sacculum*. Chinese Pharmaceutical Journal[J]. 47(08):577-580.
- 198 彭坤, 苏瑞强, 张改云, 等. 2015. 深海放线菌 *Micrococcus* sp.R21 的次生代谢产物研究. 中国中药杂志[J].
199 40(12):2367-2371. PENG KUN, SU RUIQIANG, ZHANG GAIYUN, et al. Secondary metabolites from a deep-
200 sea-derived actinomycete *Micrococcus* sp.R21. China Journal of Chinese Materia Medica[J]. 40(12):2367-2371.
- 201 吴洪波, 陈林, 吕海宁, 等. 2019. 炭团木霉 *Trichoderma hypoxylon* 中一个新倍半萜. 菌物学报[J]. 38(04):533-538.
202 EU HONGBO, CHEN LIN, LU HAINING, et al. 2019. A new sesquiterpenoid from *Trichoderma hypoxylon*.
203 *Mycosystema*[J]. 38(04):533-538.
- 204 吴双凤, 赵益铭, 董冰, 等. 2020. 蝙蝠蛾拟青霉菌丝体中环二肽类化合物的分离与鉴定. 沈阳药科大学学报[J].
205 37(03):236-239. WU SHUANGFENG, ZHAO YIMING, DONG BING, et al. 2020. Isolation and identification of
206 cyclo-dipeptide compounds from *Paecilomyces hepiali* mycelium. Journal of Shenyang Pharmaceutical
207 University[J]. 37(03):236-239.
- 208 徐祥彬, 赖童飞, 景云飞, 等. 2009. 山西壶瓶枣缩果病原菌分离和鉴定. 植物病理学报[J]. 39(03):225-230. XU
209 XIANGBIN, LAITONGFEI, JINGYUNFEI, et al. 2009. Isolation and identification of the pathogens of
210 jujube(*Zizyphus jujuba* cv. Huping) fruit shrink disease in Shanxi. Acta Phytopathologica Sinica [J]. 39(03):225-
211 230.
- 212 于鑫, 韦霞, 冯婵, et al. 2019. 海洋放线菌 *Streptomyces novaecaesareae* 次生代谢产物. 中山大学学报(自然科学版)
213 [J]. 58(03):63-70. YU XIN, WEI XIA, FENG CHAN, et al. 2019. Secondary metabolites from the marine
214 actinomycete *Streptomyces novaecaesareae*. Acta Scientiarum Naturalium Universitatis Sunyatseni[J]. 58(03):63-70.
- 215 王航航, 李刚, 彭晓婷, et al. 2018. 狭叶十大功劳内生真菌 *Colletotrichum fioriniae* F18 的次级代谢产物研究. 药理学
216 报[J]. 53(11):1862-1867. WANG HANGHANG, LI GANG, PENG XIAOPIN, et al. 2018. Secondary metabolites
217 from *Colletotrichum fioriniae* F18, an endophytic fungus isolated from the medicinal plant *Mahonia fortunei*. Acta
218 Pharmaceutica Sinica[J]. 53(11):1862-1867.
- 219 BI YH, and YU ZG. 2016. Diterpenoids from *Streptomyces* sp. SN194 and Their Antifungal Activity against *Botrytis*
220 *cinerea*. Journal of Agricultural & Food Chemistry. [J]. 64(45):8525-8529.
- 221 BLUNT J W, COPP BR, KEYZERS R A, et al. 2021. Marine natural products. Natural Product Reports. [J]. 38(2):362-
222 413.
- 223 HWANG J T, JANG H J, JIN H K, et al. 2017. *Lactococcus lactis* KR-050L inhibit IL-6/STAT3 activation. Journal of
224 Applied Microbiology. [J]. 122(5):1412-1422.
- 225 JENSEN P R, and FENICAL W. 1994. Strategies for the Discovery of Secondary Metabolites from Marine Bacteria:
226 Ecological Perspectives. Annual Review of Microbiology. [J]. 4(1):559-584.
- 227 JIANG YI, JUTTA W, XU LIHUA, et al. 2007. Marine actinobacteria, an important source of novel secondary
228 metabolites with bioactivities. Chinese Journal of Antibiotics. [J]. 32(12):711-722.
- 229 LIU XIN, YIN CHENGLE, CAO YUE, et al. 2018. Chemical constituents from *Gueldenstaedtia verna* and their anti-
230 inflammatory activity. Natural Product Research. [J]. 32(10):1145-1149.
- 231 SHIN J, SEO Y, LEE H S, et al. 2003. A new cyclic peptide from a marine-derived bacterium of the genus *Nocardiopsis*.
232 Journal of Natural Products. [J]. 66(6):883-884.
- 233